

Corso di aggiornamento
Norme Tecniche per le Costruzioni 2008

**Problemi specifici nel progetto di strutture
antisismiche con pareti in c.a.**

4 - L'elemento parete: scorrimento

Bologna
10 gennaio 2013
Edoardo M. Marino

Scorrimento tra parete e impalcato

23/11/1980 - Irpinia e Basilicata

S. Angelo dei Lombardi,
edificio in costruzione

Si nota lo scorrimento
della parete in
corrispondenza della
ripresa di getto

Le barre verticali sono
in genere fuoriuscite
dalla sezione, senza
tranciarsi



foto A. Ghersi

**Scorrimento tra testa pilastro e trave
più frequente**

23/11/1980 - Irpinia e Basilicata

Lioni

Lo scorrimento della
testa del pilastro
rispetto alla trave è
stato tale da far
perdere l'appoggio

Le barre verticali sono
fuoriuscite dalla
sezione, senza
tranciarsi, e tirate
verso il basso durante il
crollo

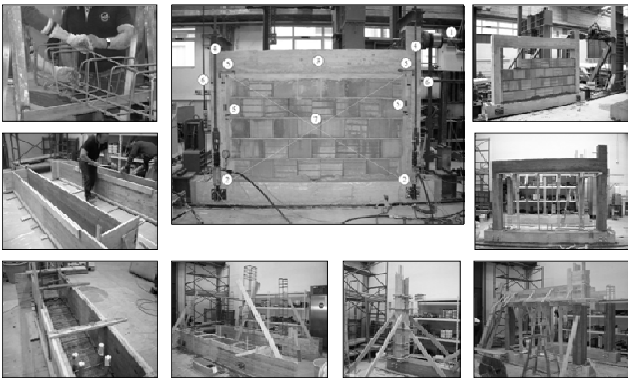


foto A. Ghersi

**Verifica a scorrimento
nella zona critica**

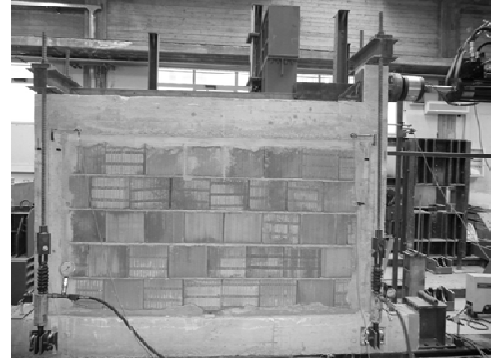
Prova di scorrimento su telaio

Laboratorio Prove Materiali dell'Università di Catania



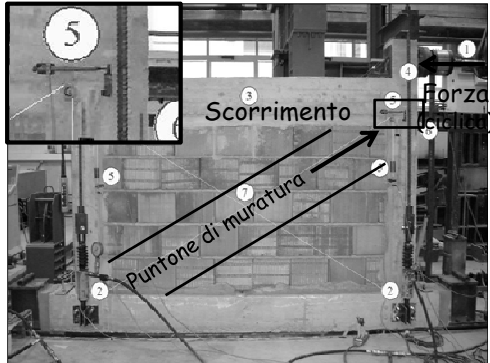
Prova di scorrimento su telaio

Laboratorio Prove Materiali dell'Università di Catania



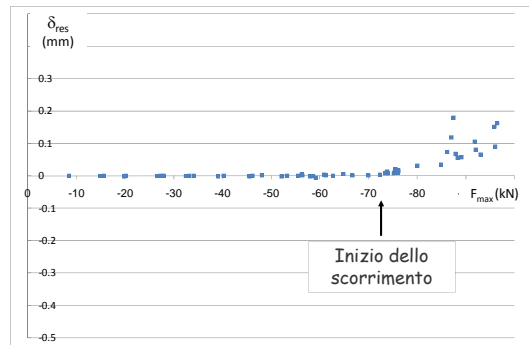
Prova di scorrimento su telaio

Laboratorio Prove Materiali dell'Università di Catania



Prova di scorrimento su telaio

graficizzazione dei risultati sperimentali



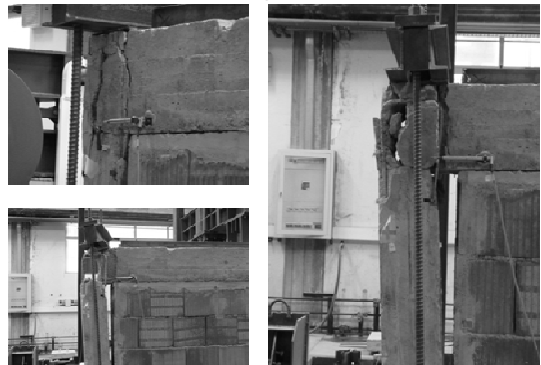
Prova di scorrimento su telaio

fase finale, con grandi scorrimenti

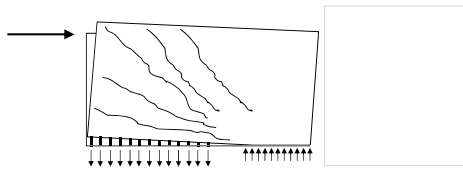


Prova di scorrimento su telaio

fase finale, con grandi scorrimenti

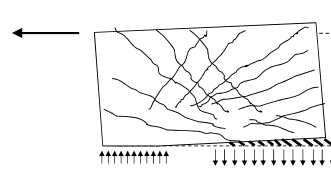


Descrizione del meccanismo di scorrimento



Nella prima fase di carico la parte alla base della parete in zona tesa è fessurata, la parte in zona compressa trasferisce l'azione a taglio ed impedisce gli scorrimenti.

Descrizione del meccanismo di scorrimento



Dopo diversi cicli di carico il calcestruzzo lungo il piano di scorrimento subisce degrado e gli scorrimenti si manifestano per valori minori del taglio

Verifica allo scorrimento

- Lungo il piano di scorrimento nelle pareti tozze occorre verificare che:

$$V_{Ed} \leq V_{dd} + V_{id} + V_{fd}$$

- V_{dd} Resistenza per effetto spinotto
- V_{id} Resistenza a taglio di eventuali barre diagonali
- V_{fd} Resistenza per attrito

Vedere foglio Excel "VerificaParete"

Verifica allo scorrimento resistenza per effetto spinotto

- Resistenza a taglio delle barre verticali A_{sj} che attraversano la sezione di scorrimento

$$\frac{f_{yk}}{\sqrt{3}} \sum A_{sj}$$

Le barre sono parzialmente impegnate flessionalmente: $\Rightarrow 0.25 f_{yd} \sum A_{sj}$

- In alternativa, si deve considerare l'azione che determina l'espulsione del copriferro

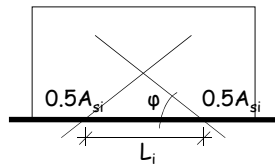
$$1.3 \sum A_{sj} \sqrt{f_{cd} f_{yd}}$$

- Si deve considerare il più piccolo tra i due valori

$$V_{dd} = \min \left\{ \begin{array}{l} 1.3 \sum A_{sj} \sqrt{f_{cd} f_{yd}} \\ 0.25 f_{yd} \sum A_{sj} \end{array} \right.$$

Verifica allo scorrimento resistenza a taglio delle barre diagonali

$$V_{id} = \sum A_{si} f_{yd} \cos \varphi$$



Nota: La presenza delle armature inclinate determina però anche un incremento del momento resistente (e quindi del taglio sollecitante)

$$\Delta M_{Rd} = 0.5 L_i \sum A_{si} f_{yd} \sin \varphi$$

- Per le pareti tozze una buona parte dello scorrimento deve essere affidato a barre diagonali

$$V_{id} \geq V_{Ed}/2$$

Parete con barre diagonali

Edificio in costruzione

Per contrastare lo scorrimento della parete sono state disposte barre inclinate che attraversano le riprese di getto

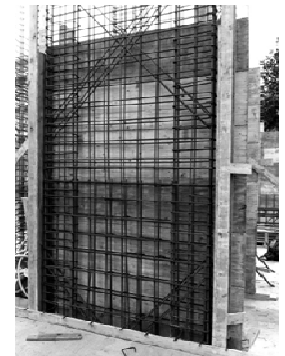


foto M. Dasasso

Verifica allo scorrimento resistenza per attrito

- La resistenza allo scorrimento dovuto all'attrito può essere valutato come somma di due contributi
 - contributo del calcestruzzo
 - contributo dell'armatura compressa

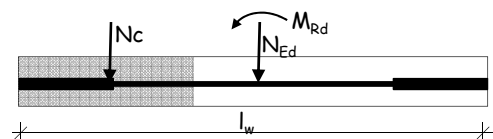
Verifica allo scorrimento resistenza per attrito

- Contributo del calcestruzzo
 - concettualmente dovrebbe essere:

$$V_{fd} = \mu_f N_c$$

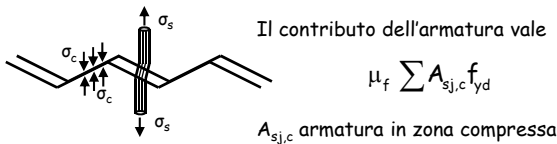
N_c valutato da verifica a presso-flessione

$\mu_f = 0.6$, coefficiente d'attrito sotto azioni cicliche



Verifica allo scorrimento resistenza per attrito

- Contributo dell'armatura compressa
 - Lo scorrimento relativo tra le facce di una lesione produce un incremento dello spessore della fessura che determina trazione nelle barre
 - La trazione è equilibrata da una forza di compressione agente sul calcestruzzo vicino alle barre



Verifica allo scorrimento resistenza per attrito

- La resistenza allo scorrimento dovuto all'attrito potrebbe essere espressa con

$$V_{fd} = \mu_f (\sum A_{s_{j,c}} f_{yd} + N_c) \quad \mu_f = 0.6$$

- La normativa fornisce come indicazione

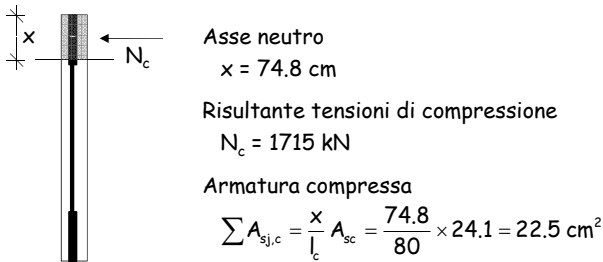
$$V_{fd} = \mu_f \left[(\sum A_{s_{j,c}} f_{yd} + N_{Ed}) \xi + \frac{M_{Ed}}{z} \right] \quad \mu_f = 0.6$$

$$\xi N_{Ed} + \frac{M_{Ed}}{z} \quad \text{corrisponde ad } N_c$$

$$\xi \sum A_{s_{j,c}} \quad \text{corrisponde a } \sum A_{s_{j,c}}$$

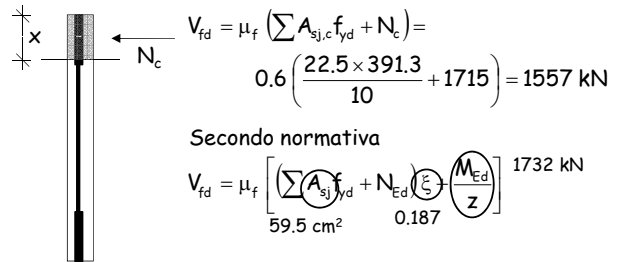
Resistenza per attrito confronto tra le due espressioni

Sezione 20x400 $N_{max} = -1000$ kN
 $A_{sc} = 12 \phi 16, l_c = 80$ cm $M_{Rd} = 6196$ kNm
 $A_{snc} = 10 \phi 12, l_{nc} = 240$ cm



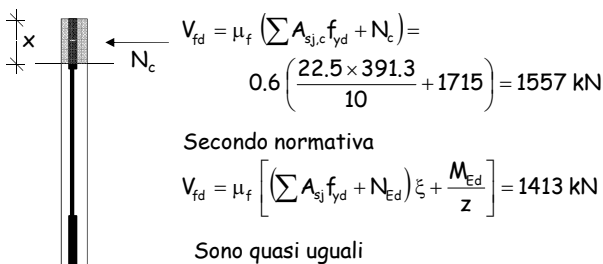
Resistenza per attrito confronto tra le due espressioni

Sezione 20x400 $N_{Ed} = -1000$ kN
 $A_{sc} = 12 \phi 16, l_c = 80$ cm $M_{Rd} = 5543$ kNm
 $A_{snc} = 10 \phi 12, l_{nc} = 240$ cm



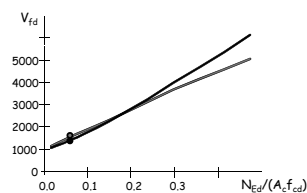
Resistenza per attrito confronto tra le due espressioni

Sezione 20x400 $N_{Ed} = -1000$ kN
 $A_{sc} = 12 \phi 16, l_c = 80$ cm $M_{Rd} = 5543$ kNm
 $A_{snc} = 10 \phi 12, l_{nc} = 240$ cm



Resistenza per attrito confronto tra le due espressioni

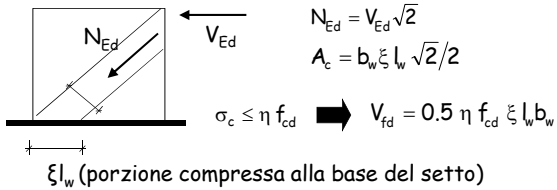
Approccio teorico: $V_{fd} = 1557$ kN
 Da normativa: $V_{fd} = 1413$ kN



I due approcci forniscono valori simili fino a valori di N_{Ed} pari al 25% di $A_c f_{cd}$

Verifica allo scorrimento resistenza per attrito

- L'azione esterna è trasmessa alla base della setto mediante un puntone compresso che non deve subire schiacciamento



La resistenza del puntone compresso rappresenta il limite superiore alla resistenza per attrito

Verifica allo scorrimento resistenza per attrito

- L'azione esterna è trasmessa alla base della setto mediante un puntone compresso che non deve subire schiacciamento

$$V_{fd} = \min \begin{cases} 0.5 \eta f_{cd} \xi L_w b_w & \eta = 0.6 \left(1 - \frac{f_{ck}}{250} \right) \\ \mu_f \left(\sum A_{s,j,c} f_{yd} + N_c \right) & \mu_f = 0.6 \end{cases}$$